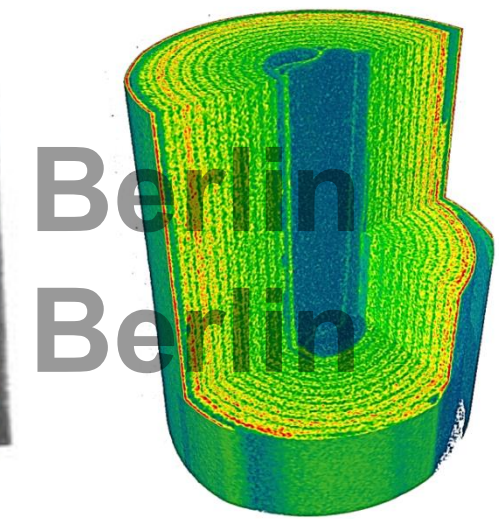
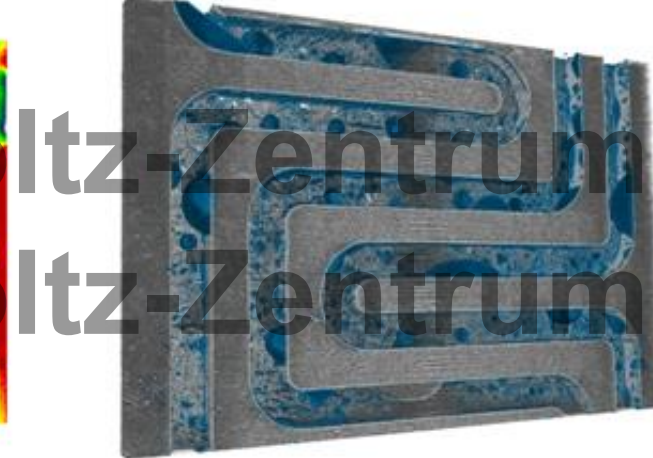
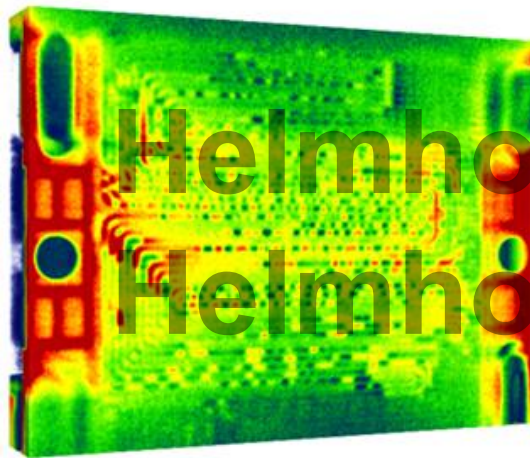


Zerstörungsfreie Untersuchung von Brennstoffzellen und Batterien mit bildgebenden Röntgen- und Neutronen-Verfahren

Ingo Manke

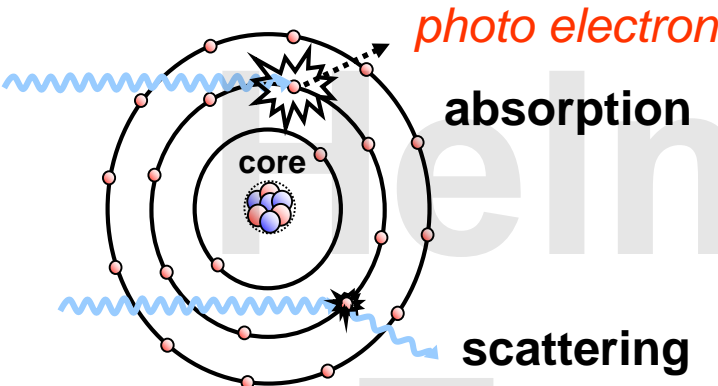
Helmholtz-Zentrum Berlin für Materialien und Energie



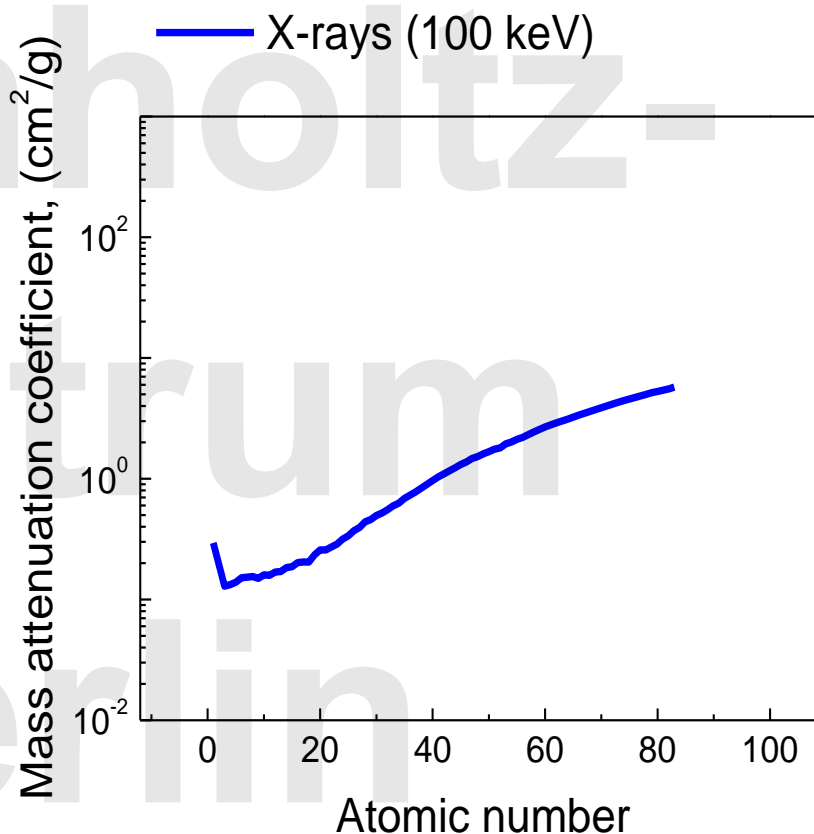
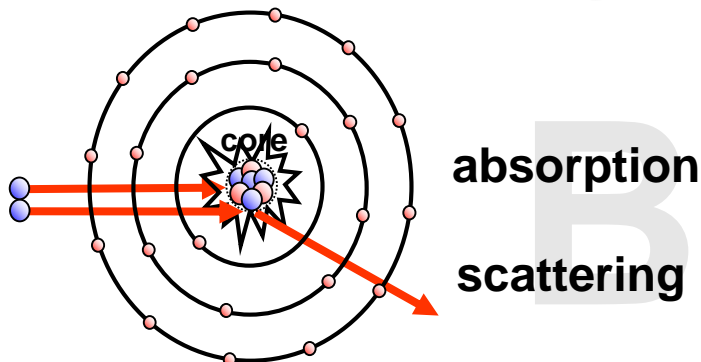
ÜBERSICHT

- Prinzip der Tomographie
- Eigenschaften von Neutronen und (Synchrotron-)Röntgenstrahlung
- Anwendungsbeispiele
 - Brennstoffzellen
 - Batterien

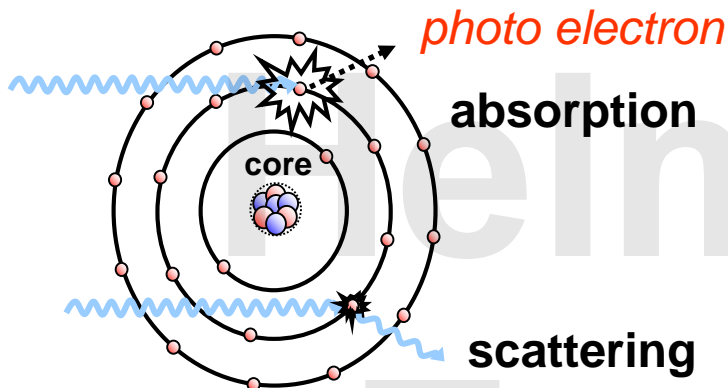
X-rays



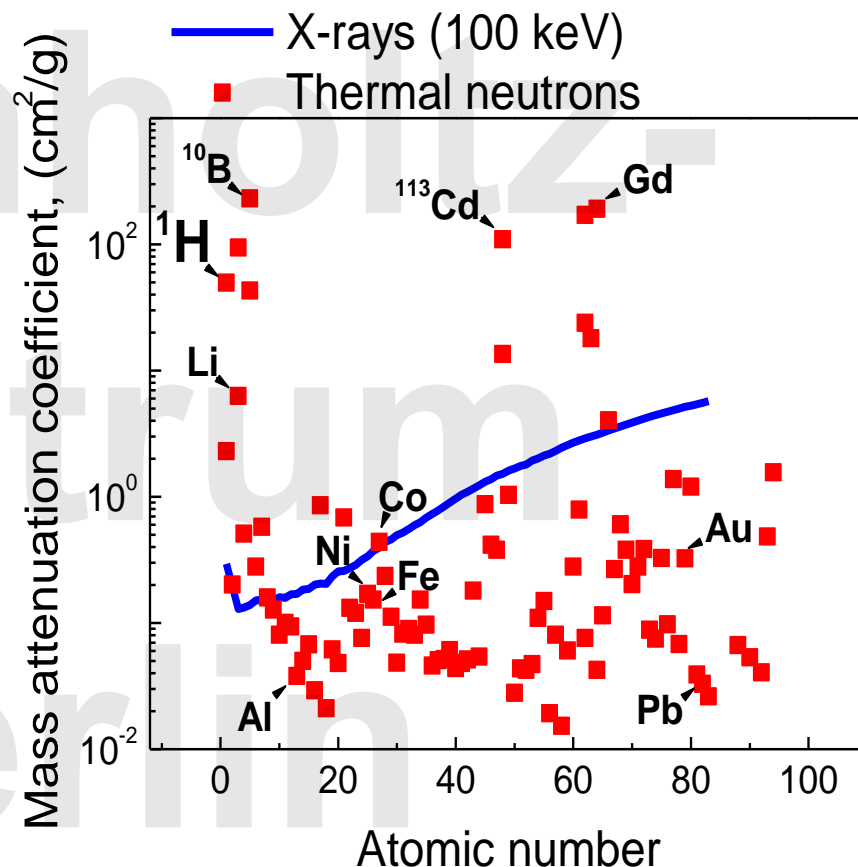
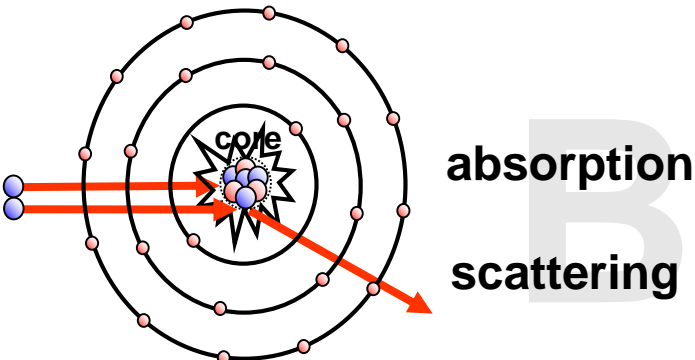
neutrons



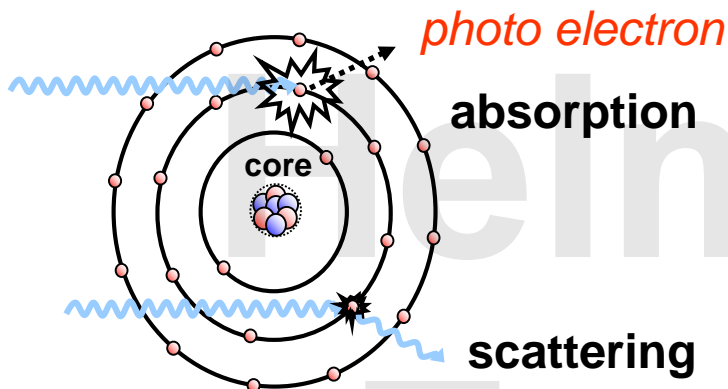
X-rays



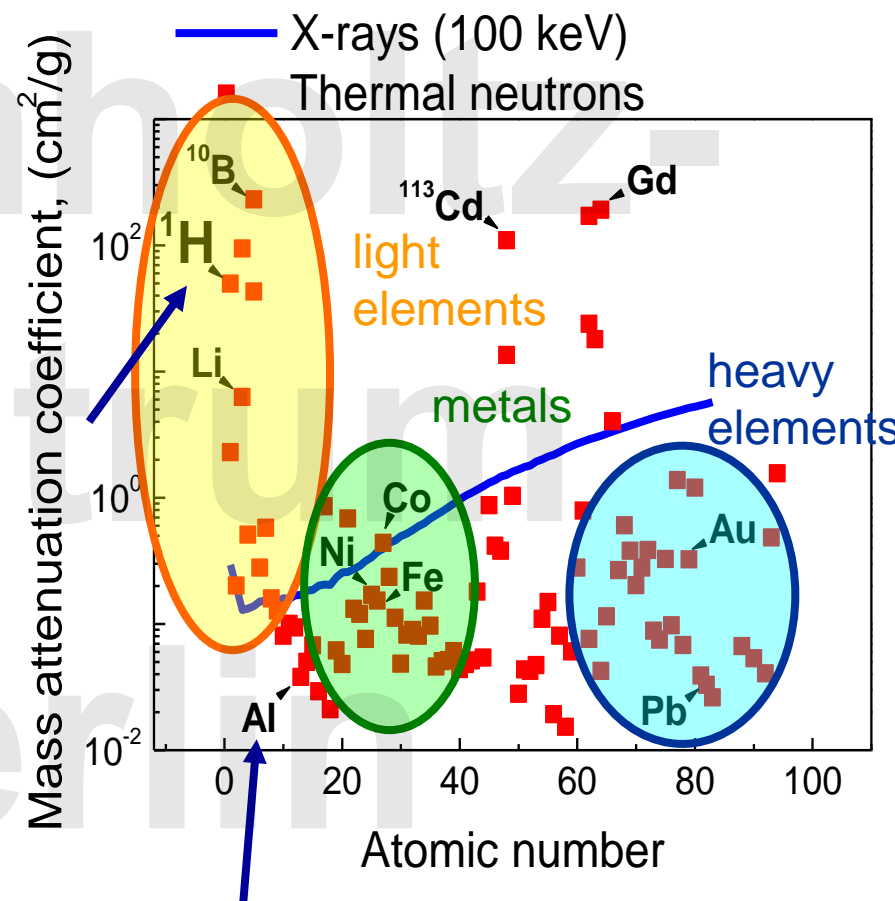
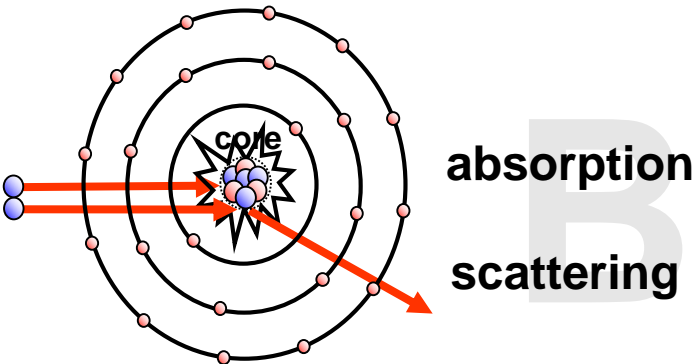
neutrons

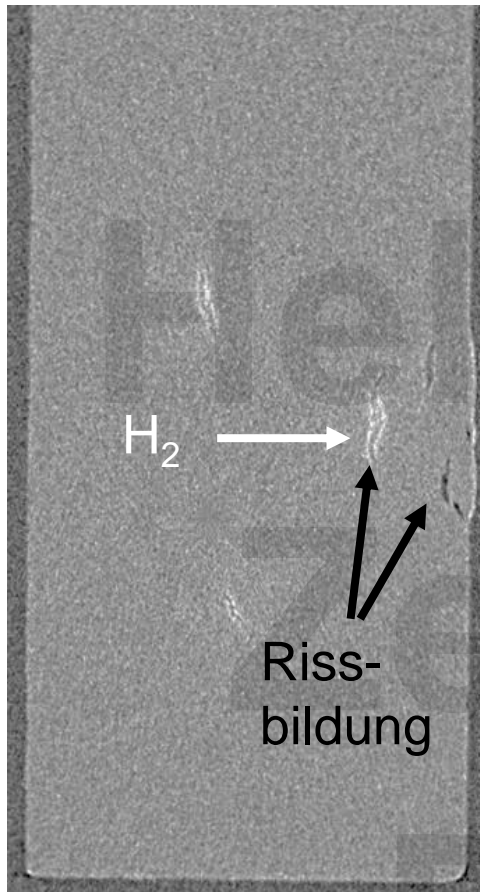


X-rays



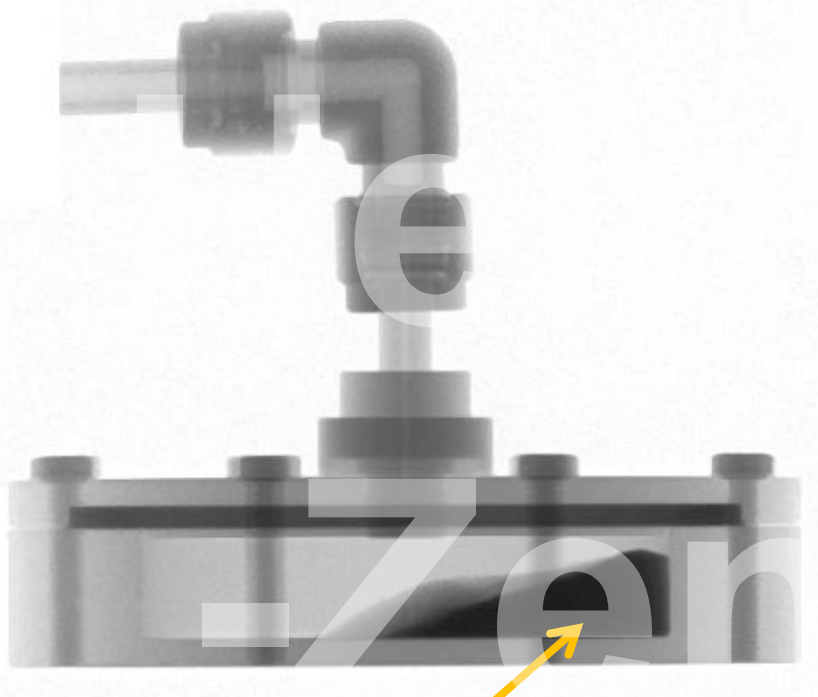
neutrons



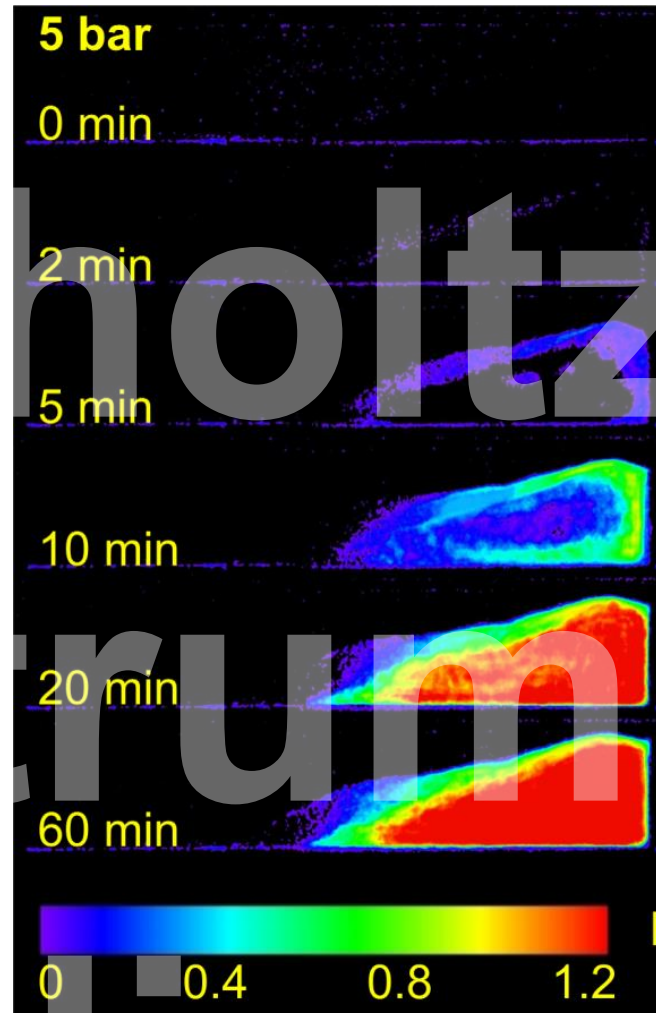


A. Griesche, E. Dabah, Th. Kannengießer, N. Kardjilov, A. Hilger, I. Manke
3D-imaging of hydrogen blister in steel with neutron tomography
Acta Materialia, 78, p. 14-22 (2014)

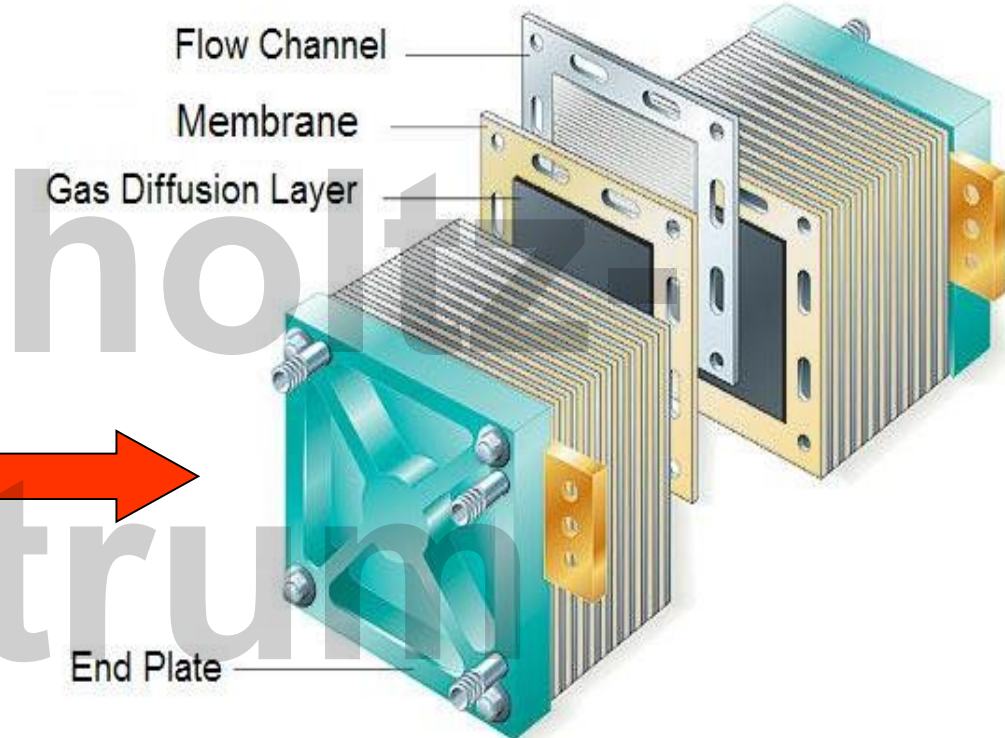
Wasserstoffspeicher



Speichermedium
 $\text{LaNi}_{4.8}\text{Al}_{0.2}$



Polymer-Elektrolyt-Membran Brennstoffzelle (PEM-BZ)

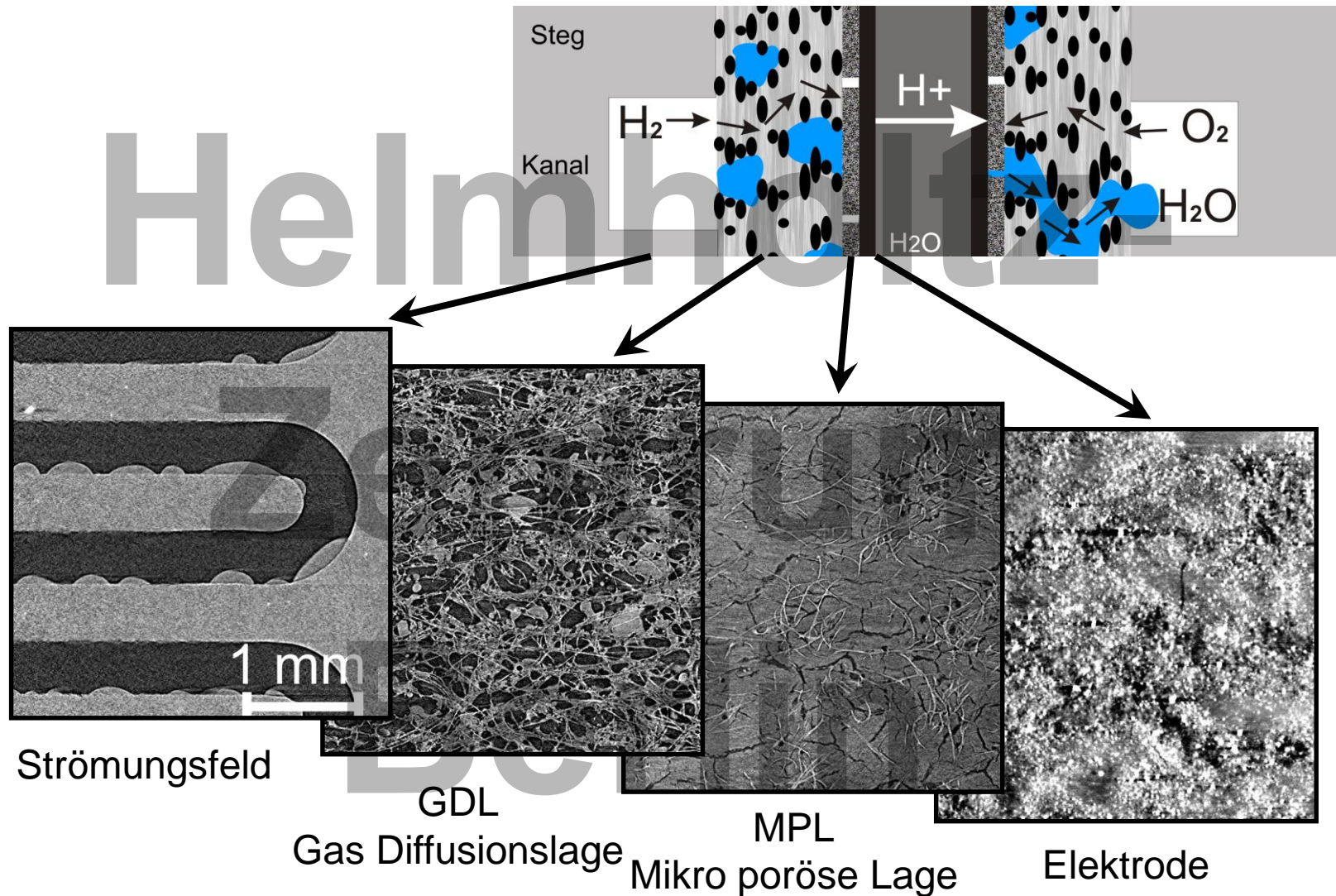


Brennstoffzellen-Stack

Anwendung z. B. im
Automobilsektor

Berlin

Polymer-Elektrolyt-Membran Brennstoffzelle (PEM-BZ)

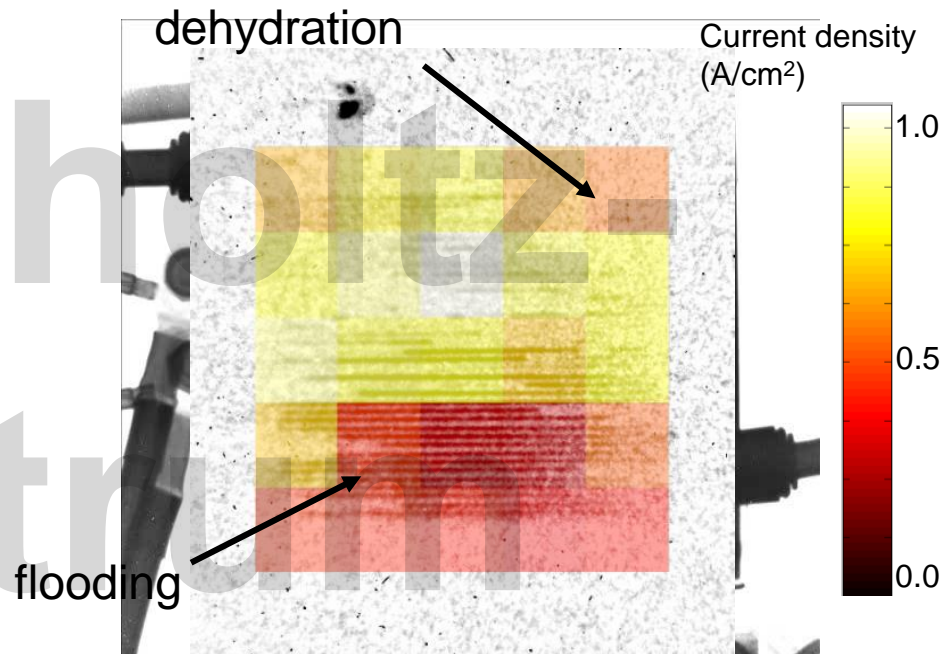




PEM Fuel Cell (ZSW)



Neutron radiography (fast motion)



C. Hartnig, I. Manke, N. Kardjilov et al
Journal of Power Sources 176, 452-459
(2008)

Simultaneous current density measurement

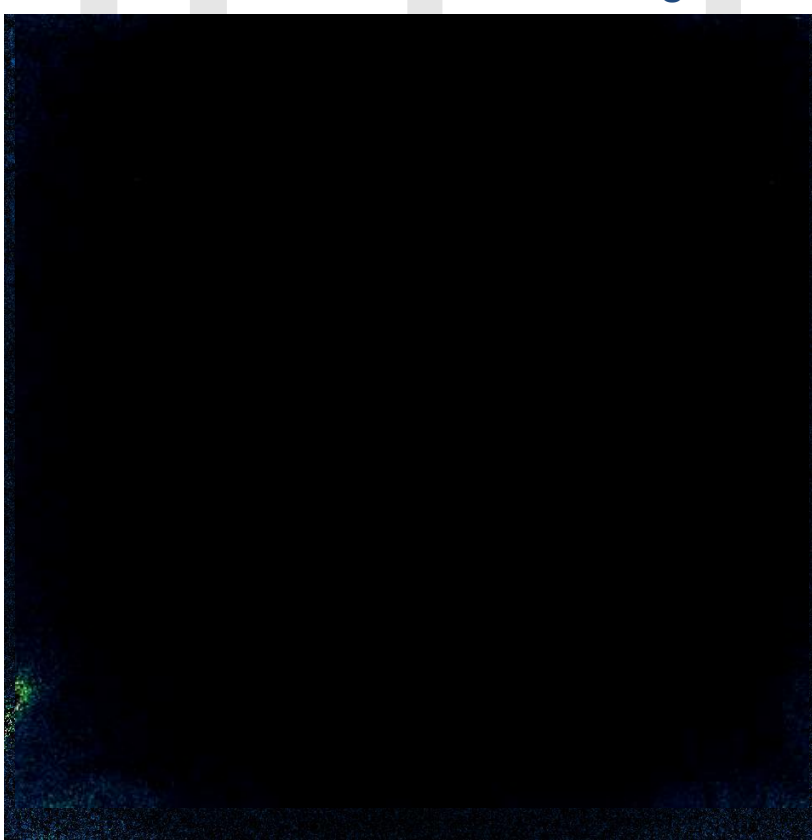
Einfluß der Hydropophobizität

GDL Hydropophobizität

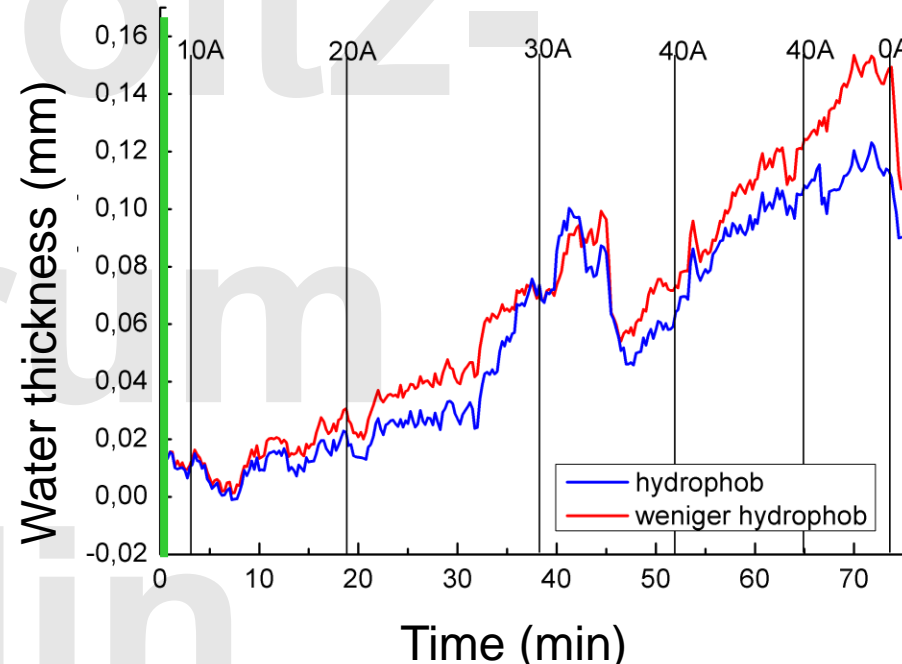
hoch

niedrig

1.5 mm
1.0 mm
0.5 mm
0.0 mm



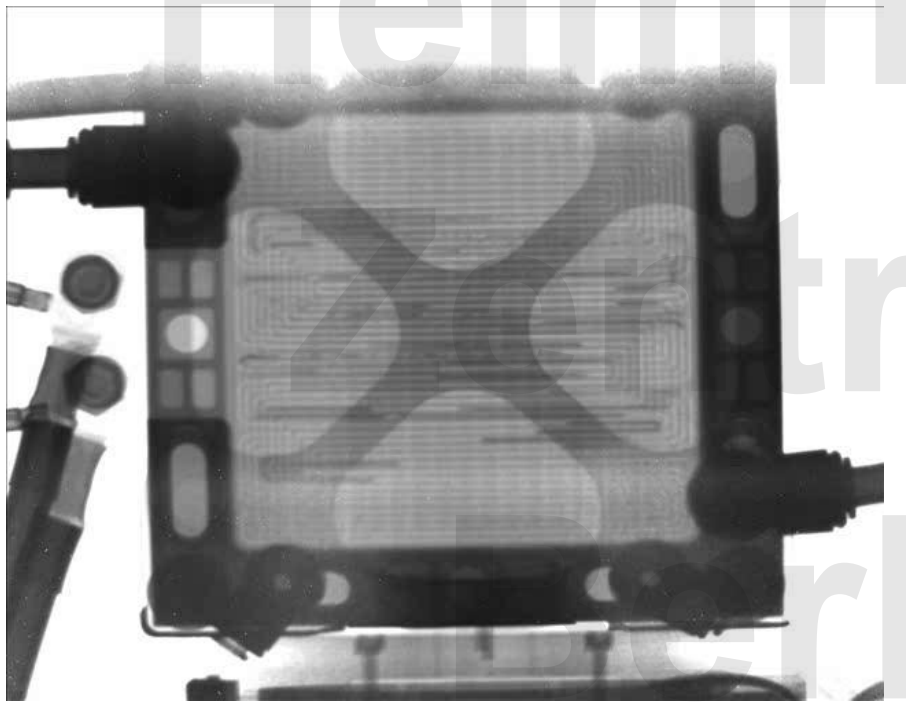
- weniger hydrophob
- hydrophob



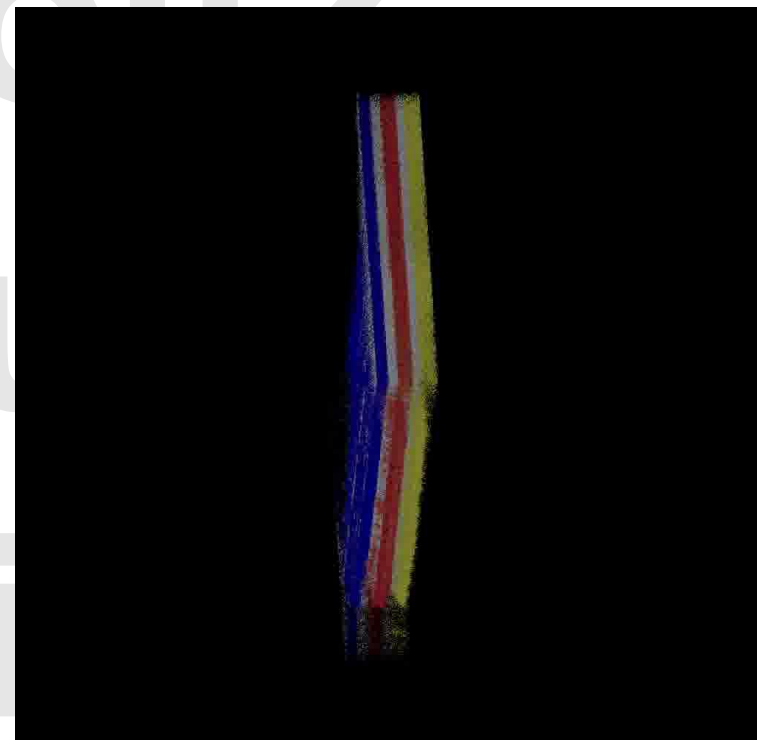
Einzelzellen

Brennstoffzellen-Stacks

2D



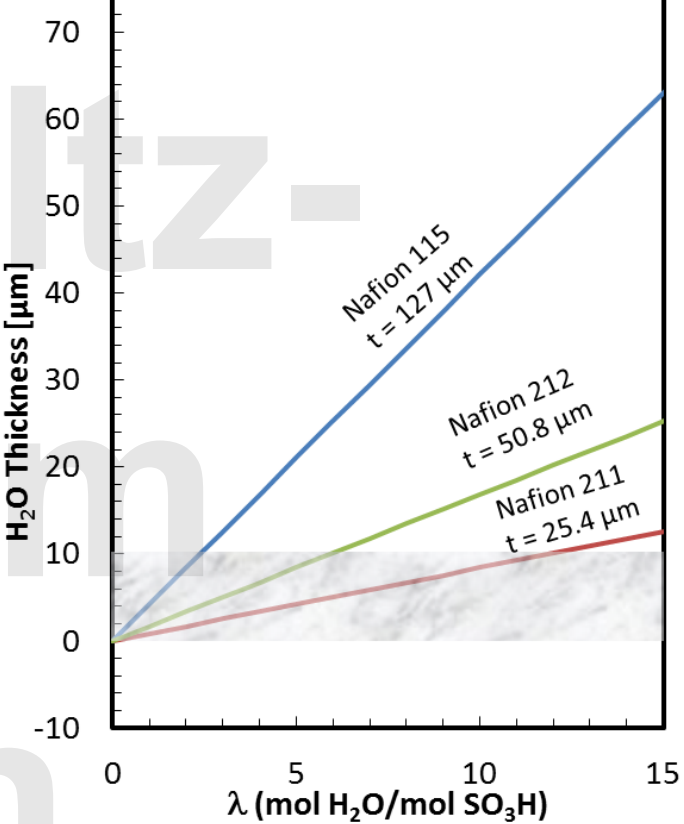
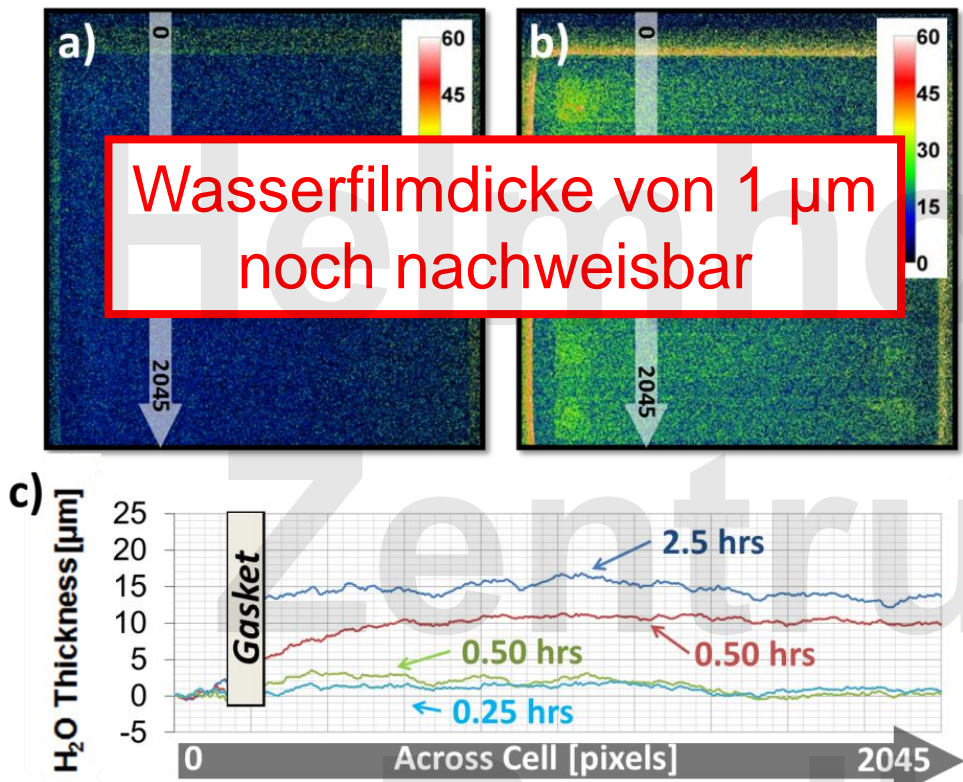
3D



Quantifizierungsgenauigkeit für Wasser

Memran: trocken

befeuchtet



J.R. Bunn, D. Penumadu et al.

Detection of water with high sensitivity to study PEM fuel cell membranes using cold neutrons at high spatial resolution

Applied Physics Letters, to be submitted (2013)

BESSY

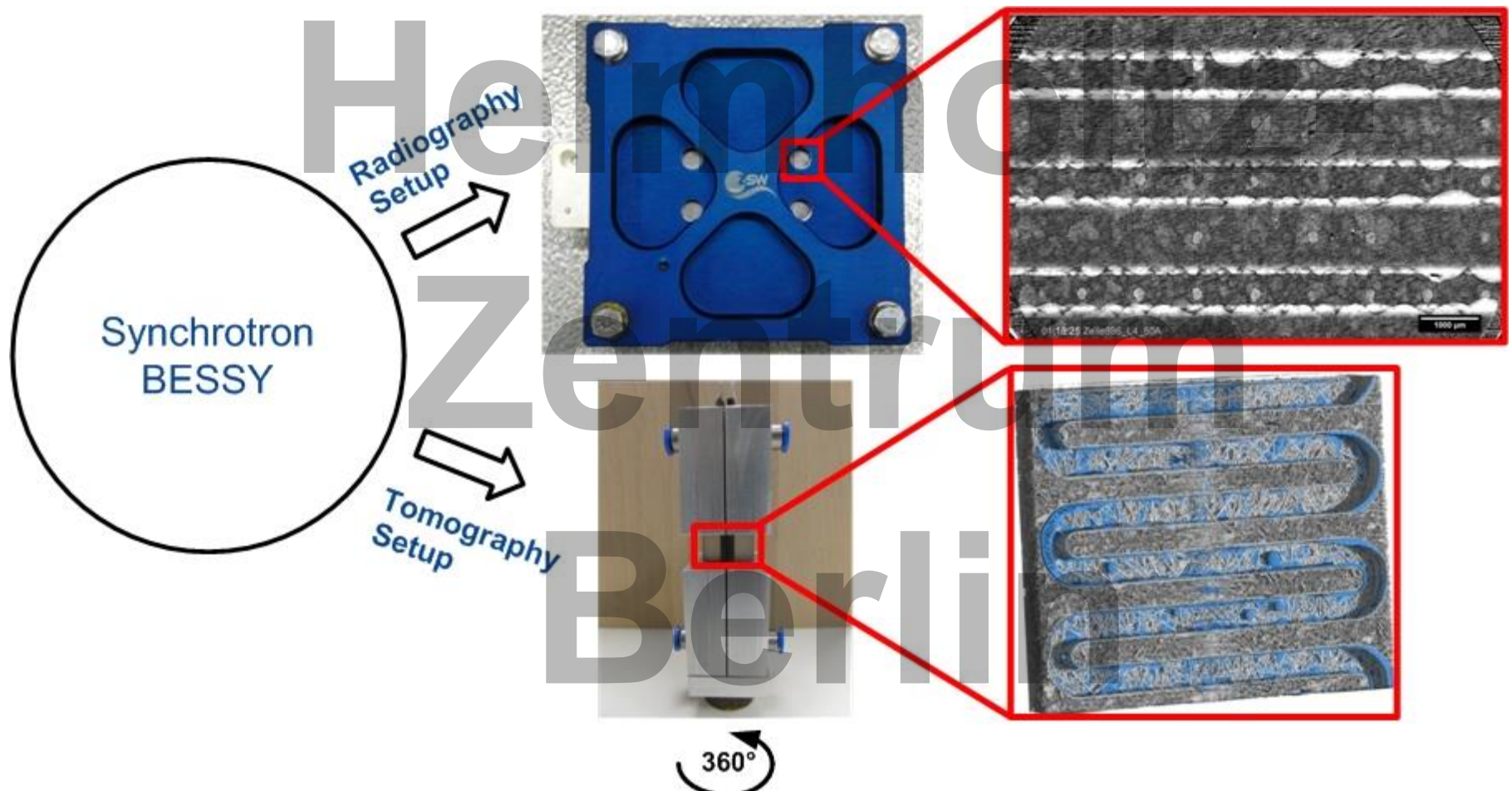


- Hohe Strahlintensitäten
- Monochromatische Strahlung
- Hohe Kohärenz

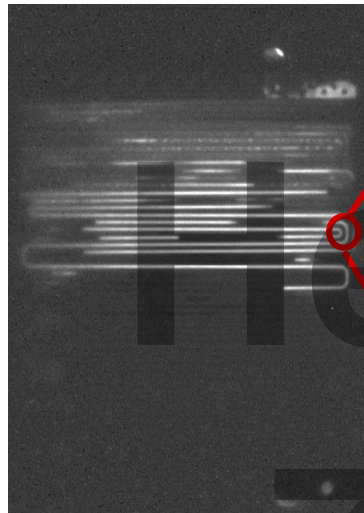


- Hohe Abbildungsgenauigkeit/Bildqualität
- Exzellente Quantifizierungsgenauigkeit
- Elementselektivität

Synchrotron-Röntgen- Radiographie und -Tomographie



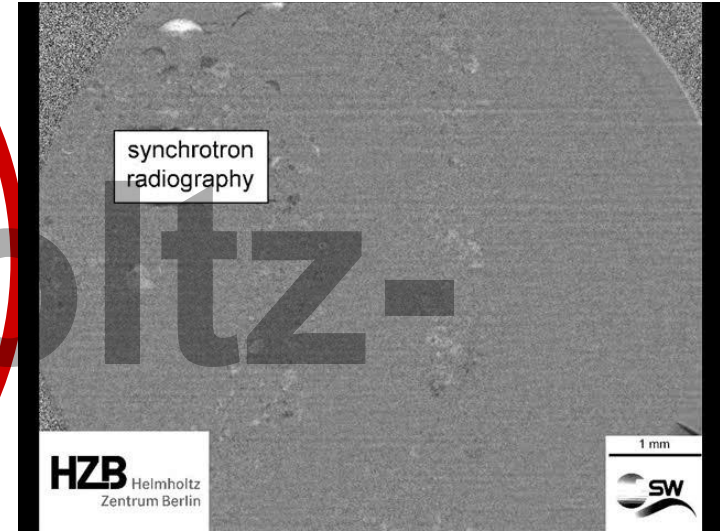
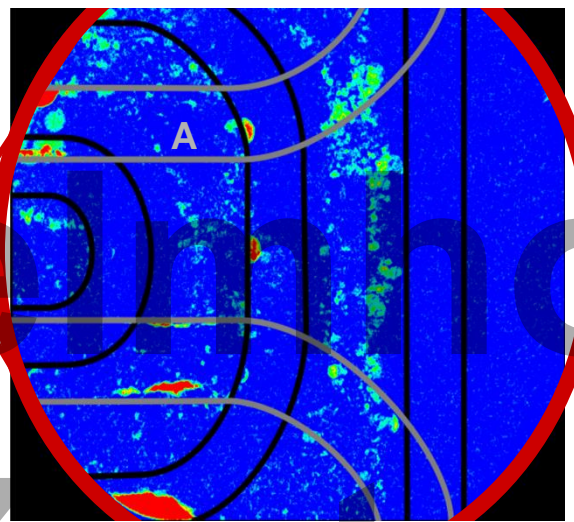
neutron radiography



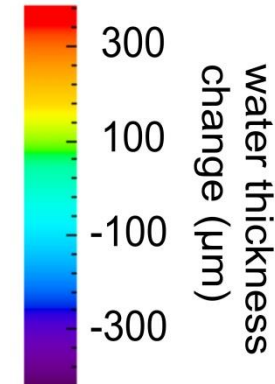
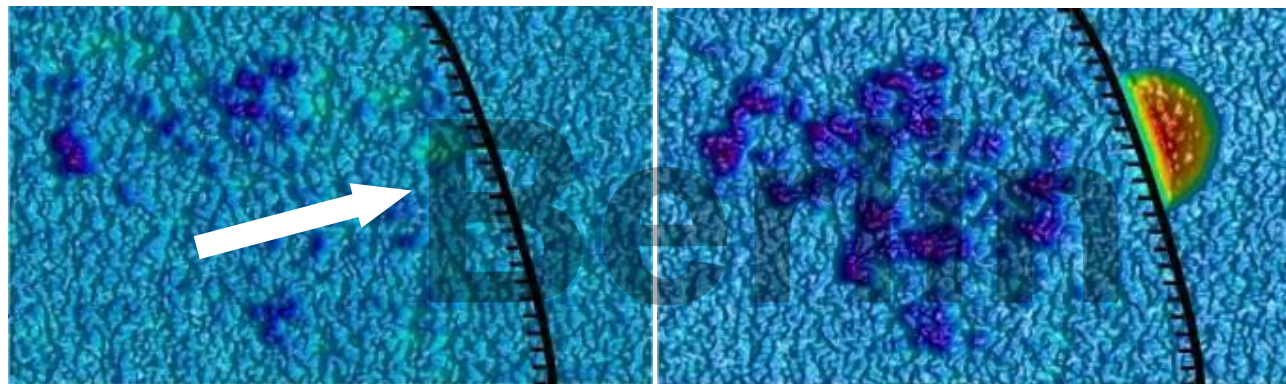
← 120 mm →

Water droplet dynamics

In-situ synchrotron radiography

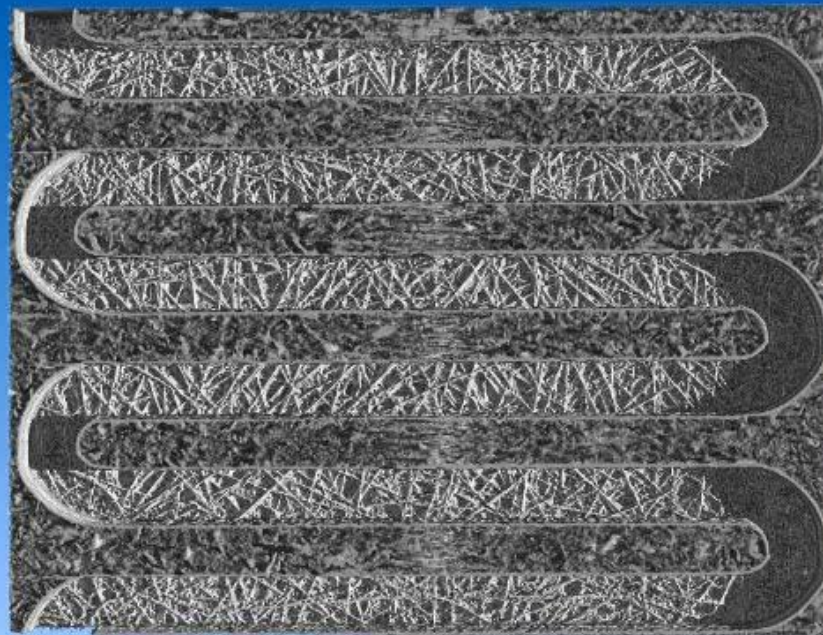


150 times fast motion



I. Manke et al., *APL* 90, 174105 (2007), Ch. Hartnig et al., *APL* 92, 134106 (2008)

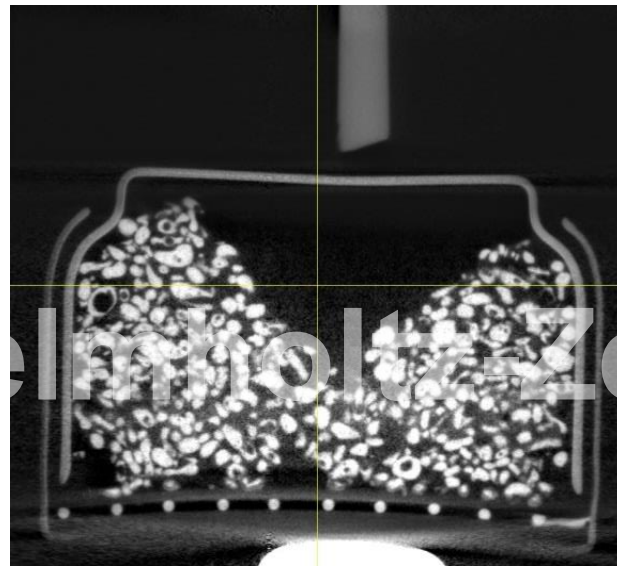
Ch. Hartnig et al., *J. Power Sources* 188 (2009), I. Manke et al., *APL* 92, 244101 (2008)



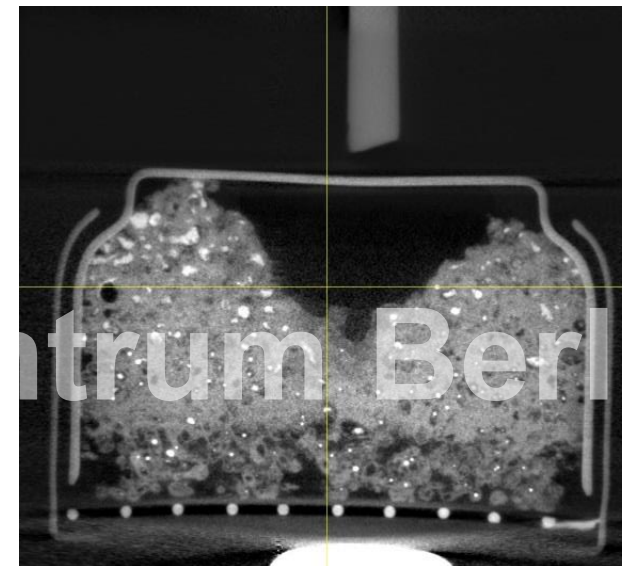
1mm

Quantifizierung der Wassermengen
mittels Differenz-Tomographie

Voll geladen



Entladen



Neuwertig



Überladen

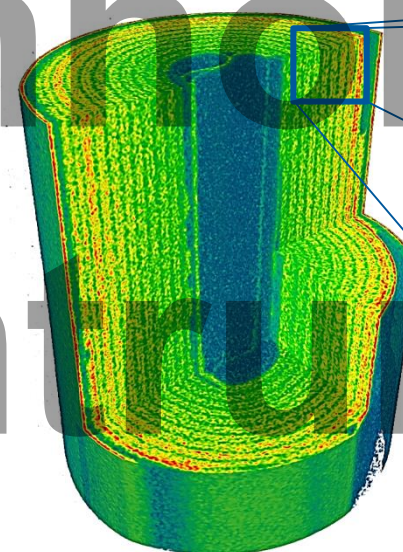


Neutronen-Tomographie

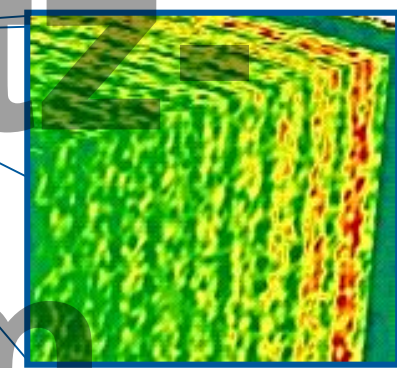
LiJ-Batterie



LiCoO₂-Batterie



Lithium/Elektrolyt



1 mm

Lithium

10 mm

Acknowledgements



Bundesanstalt für
Materialforschung
und -prüfung

B. Müller, A. Kupsch,

A. Lange, M. Hentschel



W. Lehnert, W. Maier, D. Froning



V. Schmidt, R. Thiemann,
G. Gaiselmann

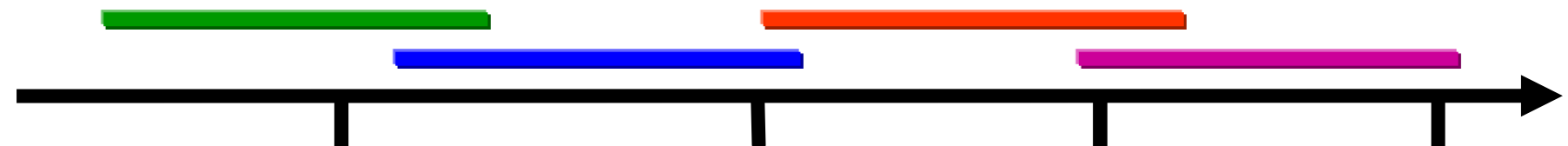
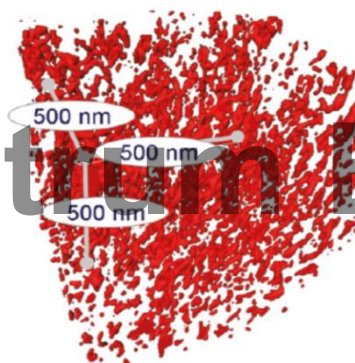
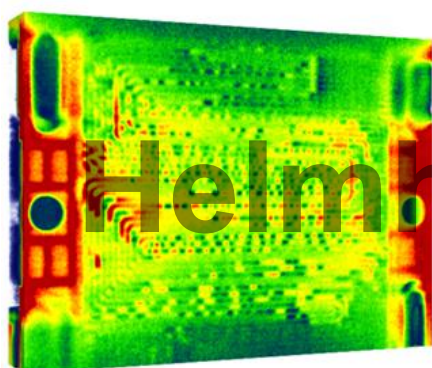


N. Kardjilov, A. Hilger, F. Wieder,
Ch. Tötzke, T. Arlt, H. Markötter
R. Grothausmann, J. Banhart



J. Scholta, M. Messerschmidt,
M. Klages, J. Haußmann,
R. Kuhn, Ph. Krüger,
F. Häussler, S. Kleinau

Vielen Dank für
Ihre Aufmerksamkeit!



Resolution **100 μm**
Size **100 mm**

1 μm
10 mm

10 nm
1 μm

1 nm
100 nm